

استفاده از اتلاف مصنوعی جهت بهبود روش TVD در جریان ماوراء صوت

محمد مهدی رشیدی^۱؛ وحید اصفهانیان^۲

چکیده

در این تحقیق جریان تقارن محوری، دائم و لزج در رژیم ماوراء صوت با استفاده از معادلات TLNS و روش TVD حول مخروط سرپخ شبیه سازی شده است. در روش TVD ازتابع آنتروپی جهت اعمال اتلاف مصنوعی استفاده شده است. استفاده از شرط آنتروپی "یی" برای اتلاف مصنوعی در سرعت های پایین دارای دقت و همگرایی مناسب می باشد ولی در جریان های ماوراء صوت در بعضی از موارد دقت و کارآیی آن کاهش می یابد. برای رفع این مشکلات شرط آنتروپی جدیدی جهت افزایش دقت، کارآیی و نرخ همگرایی روش TVD ارائه شده است. به منظور تأیید صحت محاسبات، نتایج به دست آمده با روش عددی دقیق (برازش شوک) مقایسه شده است.

کلمات کلیدی

معادلات TVD، اتلاف مصنوعی، لزج

Using Artificial Viscosity for Improvement TVD Method in the Hypersonic Flow

M. M. Rashidi.; V. Esfahanian

ABSTRACT

In this paper, the TVD method is applied to the numerical solution of the flow over axisymmetric steady hypersonic viscous flow using TLNS equations over blunt cone. In the TVD schemes, the artificial viscosity is implemented using entropy condition. For hypersonic flow, Yee entropy condition has better stability and convergence rate. This paper presents a new entropy condition for increasing the accuracy and convergence rate of the TVD scheme which does not have the difficulty associated with Yee entropy condition for viscous flow in the hypersonic regime. The numerical solution has been compared with the Beam & Warming shock fitting approach which shows that this approach has better convergence rate and accuracy.

KEYWORDS

TLNS Equations, TVD, Artificial Viscosity, Viscous HYPERSONIC FLOW

نرخ گرمایش از دماغه سرپخ استفاده می کند. از مشخصات

۱- مقدمه

مهم جریان در اطراف این هندسه می توان به شوک کمانی قوی

منفصل و لایه شوک نازک با ناحیه مادون صوت در قسمت جلو

اشاره کرد. در جریان ماوراء صوت مرتبه ضخامت لایه مرزی

یکی از مباحث مهم آیرودینامیک مربوط به وسایل پرنده با

سرعت ماقوی صوت می باشد، وسایل فوق به دلیل ملاحظات

^۱ استادیار، دانشگاه بولی سینا، دانشکده مهندسی، گروه مهندسی مکانیک،

^۲ دانشیار، دانشگاه تهران، دانشکده فنی، گروه مهندسی مکانیک

به صورت زیر است:

$$\frac{\delta^*}{x} \propto \frac{M_\infty^2}{\sqrt{Re}} \quad (1)$$

بنابراین ضخامت لایه مرزی در جریان ماوراء صوت بیش از ضخامت لایه مرزی در جریان های سرعت پایین (با همان عدد رینولدز) می باشد. با توجه به این موضوع دقت روش حل عددی در ناحیه لایه مرزی بسیار حائز اهمیت است.

استفاده از اتفاف عددی مصنوعی شیوه عمومی برای پایدار کردن حل عددی است و برای فیلتر کردن مؤلفه های خطای دارای فرکانس بالا و تسخیر شوک مورد نیاز می باشد [۱]. از سوی دیگر استفاده از اتفاف عددی مصنوعی دقت حل را کاهش می دهد، این نقیصه در جریان های لنج محسوس تر است، زیرا موجب ایجاد لرجت ناخواسته شده و پروفیل های لایه مرزی را کم دقت می کند [۲].

پارامتر دیگری که در حل عددی حائز اهمیت است ثرم خطای می باشد. روش عددی مطلوب، روشنی است که بتواند تا دقت ماشین قابلیت همگرایی داشته باشد. مشاهده شده است که در بعضی از حالت ها رسیدن به دقت ماشین امکان پذیر نیست، یکی از علل این موضوع کافی نبودن اتفاف عددی می باشد، در این موارد برای رسیدن به جواب حالت دائم باید اتفاف عددی را افزایش داد.

"بی" برای افزایش اتفاف عددی تابع آنتروپی "هارت" را جهت استفاده در مآخذ های بالا تصحیح کرده است. در ادامه نشان خواهیم داد که تابع فوق در جریان های لنج، مشکلاتی را دارا می باشد. "وانگ" و همکاران [۳] روابطی برای بهبود روش "بی" و کاهش مشکلات آن ارائه داده اند، آنها هیچ گونه اشاره ای به نرخ همگرایی ناشی از اصلاح روش "بی" نکرده اند، زیرا اگر بهبود جواب ها به قیمت کاهش بسیار زیاد نرخ همگرایی باشد، قابل قبول نیست. در مرجع فوق حل عددی برای حالت یک بعدی و اندرکنش شوک لایه مرزی (برای صفحه تخت) انجام شده است.

در این تحقیق با بررسی های به عمل آمده، مشخص شده است که می توان با اصلاح سرعت صوت مورد استفاده در تابع آنتروپی "بی"، کار آئی آن را افزایش داد. اگرچه این اصلاح باعث بهتر شدن روش حل عددی می شود، ولی باز هم مشکلاتی در حل جریان لنج باقی می ماند، یکی از مشکلات این است که روش برای شبکه های بسیار غیر یکنواخت قابلیت همگرایی تا دقت ماشین را ندارد. برای رفع این مشکلات تابع آنتروپی جدیدی پیشنهاد شده است که نرخ همگرایی را افزایش داده و باعث می شود که برنامه تا دقت ماشین قابلیت همگرایی داشته باشد. مزیت بارز روش ابداع شده این است که به کمک آن

می توان از اعداد *CFL* (*Courant Friedrichs Lewy*) بزرگ (در حدود ۱۰ برابر بزرگتر) استفاده نمود. این امکان کاربر را قادر می سازد که زمان اجرای برنامه را حدوداً به یک دهم کاهش دهد.

۲- معادلات حاکم

به دلیل وجود اندرکنش قوی بین لایه لنج و غیر لنج در ناحیه ایجاد شوک، از معادلات "ناویر- استوکس" لایه- نازک (TLNS) که کارایی خیلی خوبی برای شبیه سازی عددی جریان دارند، استفاده شده است. این معادلات در جریان هایی که دارای عدد رینولدز بالا هستند (لایه مرزی نازک)، قابل کاربرد می باشند. معادلات *FNS* به فرم بقایی در مختصات کارتزین با توجه به تغییر متغیرهای زیر به مختصات منحنی الخط انتقال داده شده اند:

$$\dot{\gamma}(x, y), \eta = \eta(x, y) \quad (2)$$

با درنظر گرفتن تغییر مستقل η در جهت عمود بر جسم و با صرف نظر کردن از مشتقات در جهت جریان (ξ)، معادلات TLNS در مختصات منحنی الخط و بی بعد شده به شکل زیر بدست می آیند:

$$\frac{\partial U}{\partial t} + \frac{\partial F}{\partial \xi} + \frac{\partial G}{\partial \eta} + H = \frac{1}{Re} \left[\frac{\partial S}{\partial \eta} + T \right] \quad (3)$$

بردار متغیرهای وابسته U و بردارهای غیر لنج و H ، F ، G همچنین بردارهای لنج S و T به فرم زیر ارائه می شوند:

$$U = J^{-1} \begin{pmatrix} \rho \\ \rho u \\ \rho v \\ E \end{pmatrix} \quad (4)$$

$$F = J^{-1} \begin{pmatrix} \rho U \\ \rho u U + \xi_x p \\ \rho v U + \xi_y p \\ (E + p) U \end{pmatrix} \quad (5)$$

$$G = J^{-1} \begin{pmatrix} \rho V \\ \rho u V + \eta_x p \\ \rho v V + \eta_y p \\ (E + p) V \end{pmatrix} \quad (6)$$

۳- روش حل عددی

روش اختلاف محدود بکار رفته، یک الگوریتم فاکتورگیری شده تقریبی، ضمنی، غیرتکراری و به شکل دلتا میباشد. فرمولاسیون روش عددی بکاررفته به صورت زیر است:

$$\left[I + \Delta t \begin{pmatrix} \Lambda_{i+\frac{1}{2},j}^{n\xi} - \Lambda_{i-\frac{1}{2},j}^{n\xi} + K_{i,j}^n \\ -\frac{1}{Re} \left(L_{i,j}^n + \frac{N_{i,j+1}^n - N_{i,j-1}^n}{2} \right) \end{pmatrix} \right] \Delta \mathbf{U}_{i,j}^* = \begin{aligned} & \text{جاروب در جهت } \xi : \\ & \left[\bar{\mathbf{F}}_{i+\frac{1}{2},j}^n - \bar{\mathbf{F}}_{i-\frac{1}{2},j}^n + \bar{\mathbf{G}}_{i,j+\frac{1}{2},j}^n - \bar{\mathbf{G}}_{i,j-\frac{1}{2},j}^n + \right. \\ & \left. - \Delta t \left[\mathbf{H}_{i,j}^n - \frac{1}{Re} \left(\mathbf{T}_{i,j}^n + \frac{\mathbf{S}_{i,j+1}^n - \mathbf{S}_{i,j-1}^n}{2} \right) \right] \right] \end{aligned} \quad (17)$$

$$\left[I + \Delta t \left(\Lambda_{i,j+\frac{1}{2}}^{n\eta} - \Lambda_{i,j-\frac{1}{2}}^{n\eta} \right) \right] \Delta \mathbf{U}_{i,j}^n = \Delta \mathbf{U}_{i,j}^* \quad (18)$$

معادلات فوق به صورت دو دستگاه قطری میباشد که با حل این دستگاهها توسط الگوریتم توماس، در نهایت مقادیر بردار $\mathbf{U}_{i,j}^{n+1}$ مربوط به هر نقطه به دست میآید:

$$\mathbf{U}_{i,j}^{n+1} = \mathbf{U}_{i,j}^n + \Delta \mathbf{U}_{i,j}^n \quad (19)$$

در روابط فوق از توابع زیر استفاده شده است:

$$\Lambda_{i+\frac{1}{2},j}^{n\xi} = \frac{1}{2} \left[A_{i+1,j} + \prod_{i+\frac{1}{2},j}^{n\xi} \right] \quad (20)$$

$$\Lambda_{i,j+\frac{1}{2}}^{n\eta} = \frac{1}{2} \left[B_{i,j+1} + \prod_{i,j+\frac{1}{2}}^{n\eta} \right] \quad (21)$$

عبارت $\prod_{i+\frac{1}{2},j}^{n\xi}$ جمله اتفاف عددی مربوط به روش TVD

است که در آن ازتابع محدودکننده استفاده میشود، این عبارت را میتوان به صورت زیر نوشت:

$$\prod_{i+\frac{1}{2},j}^{n\xi} = R_{i+\frac{1}{2},j}^{n\xi} Diag \left[\beta^k - \psi \left(\lambda^k + \gamma^k \right) \right]_{i+\frac{1}{2},j} \quad (22)$$

$$(R^{-1})_{i+\frac{1}{2},j}^{n\xi} \Delta$$

$$\beta_{i+\frac{1}{2},j}^k = \frac{g_{i,j}^k + g_{i+1,j}^k}{\alpha_{i+\frac{1}{2},j}} \quad (23)$$

تابع $g_{i,j}^k$ تابع محدودکننده است، در این تحقیق از چهار تابع محدودکننده زیر استفاده شده است:

$$\mathbf{H} = (yJ)^{-1} \begin{pmatrix} \rho v \\ \rho u v \\ \rho v^2 \\ (E + P)v \end{pmatrix} \quad (4)$$

$$\mathbf{S} = J^{-1} \begin{pmatrix} \mu(\eta_x^2 + \eta_y^2)u_\eta + (\mu/3)\eta_x \left(\eta_y u_\eta + \right) \\ -(2/3)\mu\eta_x v/y \\ \mu(\eta_x^2 + \eta_y^2)v_\eta + (\mu/3)\eta_y \\ (\eta_y u_\eta + \eta_y v_\eta) - (2/3)\mu\eta_y v/y \\ \mu(\eta_x^2 + \eta_y^2)[(u^2 + v^2)_\eta / 2 + \gamma \Pr^{-1} e_\eta] \\ - (2/3)\mu(\eta_x u + \eta_y v)v/y + \\ \left(\mu/6 \left[\mu_x^2 (u^2)_\eta + \mu_y^2 (v^2)_\eta + \right] \right) \\ \left(2\eta_x \eta_y (uv)_\eta \right) \end{pmatrix} \quad (8)$$

$$\mathbf{T} = (yJ)^{-1} \begin{pmatrix} 0 \\ \mu(u_\eta \eta_y + v_\eta \eta_x) \\ 2\mu v_\eta \eta_y - 2\mu v/y \\ \mu u(u_\eta \eta_y + v_\eta \eta_x) + (2/3)\mu \\ (2v_\eta \eta_y - u_\eta \eta_x) - \\ (2/3)\mu v^2/y + \gamma \mu \Pr^{-1} e_\eta \eta_y \end{pmatrix} \quad (9)$$

مولفه های غیرفیزیکی جریان (پادوردا) U و V در دامنه محاسباتی به صورت زیر بیان می شوند: (۱۰)

$$U = \xi_x u + \xi_y v, \quad V = \eta_x u + \eta_y v \quad (11) \text{ و } (12)$$

روابط مورد نیاز بین متغیرهای جریان با توجه به معادله حالت گاز ایدهآل به صورت زیر میباشند:

$$T = (\gamma - 1)e, \quad E = \rho \left[e + \frac{1}{2}(u^2 + v^2) \right] \quad (13)$$

به منظور بی بعد کردن متغیرها، پارامترهای بی بعد به صورت زیر در نظر گرفته شده اند:

$$x_i = \frac{x_i^*}{R_N}, \quad u_i = \frac{u_i^*}{c_\infty} \sqrt{\gamma}, \quad \rho = \frac{\rho^*}{\rho_\infty} \quad (14)$$

$$T = \frac{T^*}{T_\infty}, \quad e = \frac{e^*}{c_\infty^2} \gamma, \quad p = \frac{p^*}{p_\infty} \quad (15)$$

جملات متريک عبارتند:

$$\xi_x = -Jy_\eta, \quad \xi_y = -Jx_\eta, \quad \eta_x = Jy_\xi, \quad \eta_y = Jx_\xi \quad (15)$$

ذاكوبین تبدیل برابر است با:

$$J^{-1} = x_\xi y_\eta - y_\xi x_\eta \quad (16)$$

$$\Phi_{i+\frac{1}{2},j}^{nk} = g_{i,j}^k + g_{i+1,j}^k - \psi\left(\lambda_{i+\frac{1}{2},j}^k + \gamma_{i+\frac{1}{2},j}^k\right)\alpha_{i+\frac{1}{2},j}^k \quad (32)$$

متغیرها توسط رابطه زیر متوسطگیری می‌شوند:

$$b = \sqrt{\frac{\rho_{i+1,j}}{\rho_{i,j}}} \quad (33)$$

$$s_{i+\frac{1}{2},j} = \frac{bs_{i+1,j} + s_{i,j}}{1+b}$$

پارامتر s می‌تواند با مقادیر سرعت و انتالپی جایگزین شود. سرعت صوت (در مختصات کارتزین) از رابطه زیر به دست می‌آید:

$$c_{i+\frac{1}{2},j} = \sqrt{(\gamma - 1) \left(h_{i+\frac{1}{2},j} - \frac{u_{i+\frac{1}{2},j}^2 + v_{i+\frac{1}{2},j}^2}{2} \right)} \quad (34)$$

عبارت‌های $Error_{max}$ و $Residual$ به صورت زیر تعریف می‌شوند:

$$Error_{max} = \frac{\text{حل}}{\text{گام زمانی}} \quad (35)$$

$$Residual = \frac{1}{m \times n} \sqrt{\sum_{i=1}^{i=m} \sum_{j=1}^{j=n} \left(\frac{\Delta \rho}{\rho} \right)^2} \quad (36)$$

مقادیر اولیه برای متغیرهای جریان با توجه به تحلیل آیزوتروپیکی و در بعضی از حالت‌ها از روش "رو" مرتبه اول [۴]، بدست آمده و تولید شبکه با استفاده از روش جبری [۵] انجام شده‌است، ضریب کشش برابر $1/0.1$ می‌باشد. برای انجام محاسبات، عدد رینولدز 21250 و عدد مان 8 حول مخروط سریع با نیم‌زاویه رأس 7 درجه درنظر گرفته شده‌است. در تمامی اجراء‌ها (در شبکه‌های درشت) عدد CFL برابر یک درنظر گرفته شده‌است. به منظور افزایش نرخ همگرایی، گام زمانی (Δt) بر اساس مقادیر ویژه، متغیر درنظر گرفته شده و با استفاده از عدد CFL بدست می‌آید. به منظور مقایسه نتایج از روش برآش شوک "بیم-وارمینگ" [۶]، استفاده شده‌است. این روش کمترین مقدار اتلاف عددی را مورد استفاده قرار می‌دهد و به همین دلیل دارای دقت زیادی (بویژه در داخل لایه مرزی) می‌باشد. نتایج مربوط به روش برآش شوک مطالعه شبکه شده‌اند تا جواب‌های آنها مستقل از شبکه باشند.

۱-۳- اعمال شرایط مرزی

شرط مرزی دیواره برای جریان لزج با توجه به شرط عدم لغزش مقادیر u و v روی جسم برابر صفر می‌باشند. برای

$$g_{i,j}^k = s \times \max \left[0, \min \left(\sigma_{i+\frac{1}{2},j}^k \left| \alpha_{i+\frac{1}{2},j}^k \right|, s \sigma_{i-\frac{1}{2},j}^k \alpha_{i-\frac{1}{2},j}^k \right) \right] \quad (24)$$

$$g_{i,j}^k = \frac{\alpha_{i-\frac{1}{2},j}^k \alpha_{i+\frac{1}{2},j}^k + \left| \alpha_{i-\frac{1}{2},j}^k \alpha_{i+\frac{1}{2},j}^k \right|}{\alpha_{i-\frac{1}{2},j}^k + \alpha_{i+\frac{1}{2},j}^k + \delta} \quad (25)$$

$$g_{i,j}^k = \frac{\alpha_{i-\frac{1}{2},j}^k \left[\left(\alpha_{i+\frac{1}{2},j}^k \right)^2 + \delta \right] + \alpha_{i+\frac{1}{2},j}^k \left[\left(\alpha_{i-\frac{1}{2},j}^k \right)^2 + \delta \right]}{\left(\alpha_{i-\frac{1}{2},j}^k \right)^2 + \left(\alpha_{i+\frac{1}{2},j}^k \right)^2 + 2\delta} \quad (26)$$

$$g_{i,j}^k = s \max \left[0, \min \left(2\sigma_{i+\frac{1}{2},j}^k \left| \alpha_{i+\frac{1}{2},j}^k \right|, s \sigma_{i-\frac{1}{2},j}^k \right), \min \left(\left| \alpha_{i+\frac{1}{2},j}^k \right|, 2s\alpha_{i-\frac{1}{2},j}^k \right) \right] \quad (27)$$

که در آن $s = \text{sgn} \left(\alpha_{i+\frac{1}{2},j}^k \right)$ علامت تابع و $10^{-7} \leq \delta \leq 10^{-5}$ می‌باشد، تابع $\gamma_{i+\frac{1}{2},j}^k$ به صورت زیر تعریف می‌شود:

$$\gamma_{i+\frac{1}{2},j}^k = \begin{cases} \frac{g_{i+1,j}^k - g_{i,j}^k}{\alpha_{i+\frac{1}{2},j}^k} & \alpha_{i+\frac{1}{2},j}^k \neq 0 \\ 0 & \alpha_{i+\frac{1}{2},j}^k = 0 \end{cases} \quad (28)$$

$$\alpha_{i+\frac{1}{2},j}^k = \left(R_{i+\frac{1}{2},j}^{n\xi} \right)^{-1} \left(U_{i+1,j}^n - U_{i,j}^n \right) \quad (29)$$

روابط مشابهی برای جهت η مورد استفاده قرار می‌گیرند. تابع $\sigma_{i+\frac{1}{2},j}^k$ به صورت زیر تعریف می‌شود:

$$\sigma_{i+\frac{1}{2},j}^k(x) = \frac{1}{2} \psi_{i+\frac{1}{2},j}^k(x) \quad (30)$$

تابع $\psi_{i+\frac{1}{2},j}^k$ شرط آنتروپی نامیده می‌شود و از ایجاد امواج شوک انبساطی که غیرفیزیکی هستند، جلوگیری می‌کند. استفاده از تابع آنتروپی به حل، لزجت عددی اعمال می‌کند. بردار شار غیرلزج از رابطه زیر بدست می‌آید:

$$\bar{F}_{i+\frac{1}{2},j}^n = \frac{1}{2} \left[F_{i,j}^n + F_{i+1,j}^n + \Phi_{i+\frac{1}{2},j}^{nk} \right] \quad (31)$$

برای محاسبات جسم سریع در اعداد ماخ بالا مناسب نیست و استفاده از آن در اعداد ماخ بالا موجب واگرایی حل شده و یا نرم خطا از حد خاصی پایین‌تر نمی‌آید. "بی" شرط آنتروپی ثابت "هارتون" را برای جریان‌های با ماخ بالا ($M \leq 25$) و ماوراء صوت به صورت زیر اصلاح نمود [۱۰]:

$$\varepsilon = \varepsilon^* \left[\left| U_{i+\frac{1}{2},j} \right| + \left| V_{i+\frac{1}{2},j} \right| + \frac{1}{2} C_{i+\frac{1}{2},j} \right] + \left(|\nabla \xi| + |\nabla \eta| \right)_{i+\frac{1}{2},j} \quad (۳۹)$$

ξ و η مؤلفه‌های سرعت پادوردا در جهت‌های γ و η می‌باشد و $0.25 \leq \varepsilon \leq 0.02$ در نظر گرفته می‌شود.

با بررسی‌های انجام شده مشخص شد که در بیشتر رژیم‌های جریان (بویژه در جریان‌های ماوراء صوت) شرط آنتروپی ثابت "بی" نرخ همگرایی مناسبی دارد و از پایداری بهتری برخوردار است، در عین حال نرم خطا آن نیز کوچک‌تر است، به همین دلیل در این تحقیق از آن به عنوان مبنای استفاده شده است، این تابع نیز دارای مشکلاتی است که در این تحقیق سعی شده است به آنها پرداخته شود و اصلاحات لازم در مورد آن صورت گیرد.

۳-۳- بررسی قابع آنتروپی "بی" در جریان لزج

"بی" برای افزایش پایداری، نرخ همگرایی و کاهش نرم خطا، شرط آنتروپی، "هارتون" را اصلاح نمود. در این تابع آنتروپی سرعت صوت در مختصات منحنی الخط از متوسط‌گیری در دو جهت γ و η بدست آمده است. در مقالات و گزارش‌های منتشر شده توسط "بی" محاسبات مربوط به جریان لزج نیز انجام شده است، ولی در قریب به اتفاق این منابع از ضریب بزرگ کشش شبکه (که موجب یکنواختی شبکه می‌شود و در نتیجه تعداد نقاط کمتری در ناحیه لزج و لایه مرزی قرار می‌گیرد) استفاده شده است. با استفاده از ضریب بزرگ کشش شبکه اثرات لزجت در حل عددی کاهش خواهد یافت.

در شکل ۱ شبکه‌بندی نقاط در دامنه فیزیکی نشان داده شده است. در شکل ۲ منحنی نرم خطا برای روش "بی" به ازای $\varepsilon = 0.05$ قابلیت همگرایی تا دقت ماشین را ندارد. این مسئله نشان می‌دهد که حساسیت روش "بی" نسبت به انتخاب ε زیاد است. RIC نشان‌دهنده این است که برای بدست آوردن شرایط اولیه از روش "رو" مرتبه اول استفاده شده است. از سوی دیگر IIC به طی اشاره می‌کند که برای شرایط اولیه آن از مقادیر آیزنتروروپیک استفاده شده است.

در جریان‌های غیرلزج معمولاً از ضریب بزرگ کشش شبکه استفاده می‌شود، به همین دلیل ابعاد شبکه در جهات γ و η به

شرط مرزی فشار از معادله زیر استفاده می‌شود:

$$p_n \left(\eta_x^2 + \eta_y^2 \right)^{\frac{1}{2}} = (\xi_x \eta_x + \xi_y \eta_y) p_\xi \\ + (\eta_x^2 + \eta_y^2) p_\eta = 0 \quad (۴۷)$$

به دلیل آدیاباتیک بودن دیواره از رابطه‌ای مشابه با معادله فوق برای دما استفاده شده است. از گستره‌سازی عددی معادله فوق، معادلاتی به شکل ماتریس سه‌قطري حاصل می‌شود که با استفاده از روش توماس حل می‌گردد.

شرط مرزی جریان ورودی

چون جریان ورودی مأمور صوت می‌باشد، متغیرها در ورود برابر مقادیر جریان آزاد درنظر گرفته شده‌اند.

شرط مرزی جریان خروجی

به دلیل مأمور صوت بودن جریان خروجی، از میان یابی مرتبه صفر استفاده شده است.

شرط مرزی صفحه تقارن

در این مرز از شرط تقارن (آینه‌ای) استفاده شده است.

۴-۳- شرط آنتروپی ثابت

مشکل اصلی روش خطی‌سازی "رو" در نقض آنتروپی در انبساط صوتی است، البته این مسئله مختص این روش نیست، برای حل این مشکل از توابع آنتروپی ثابت استفاده می‌شود. در مراجع از سه نوع شرط آنتروپی (معروف) استفاده شده است، متغیر اصلی این توابع مقادیر ویژه هستند. شایان ذکر است که شرط آنتروپی می‌تواند میزان همگرایی را شدیداً تحت‌تأثیر قرار دهد. در حالت تقارن محوری دو مقدار ویژه جابجایی $U = \lambda_{1,2}$ و دو مقدار ویژه آکوستیک پیشرو و پسرو $C = U + C \sqrt{\xi_x^2 + \xi_y^2}$ $\lambda_3 = \lambda_4 = U - C$ در نزدیکی نقاط سکون به صفر نزدیک می‌شوند و λ_3 یا λ_4 در نزدیکی خطوط صوتی به صفر نزدیک می‌شوند. در اثر صفر شدن مقادیر ویژه مشکلاتی (مانند ناپایداری غیرخطی) برای روش عددی ایجاد می‌شود. برای جلوگیری از صفر شدن مقادیر ویژه سه نوع شرط آنتروپی توسط محققین پیشنهاد شده است که به قرار زیرند:

شرط آنتروپی ثابت "چاکراوارتی" [۷]

شرط آنتروپی ثابت "هارتون-هایمن" [۸]

شرط آنتروپی ثابت "هارتون" [۹]

شرط آنتروپی ثابت "هارتون" به صورت زیر است:

$$\psi(\lambda) = \begin{cases} |\lambda| & |\lambda| \geq \varepsilon^* \\ \frac{\lambda^2 + \varepsilon^{*2}}{2\varepsilon^*} & |\lambda| < \varepsilon^* \end{cases} \quad (۴۸)$$

بطوریکه $0.25 \leq \varepsilon \leq 0.02$. شرط آنتروپی "هارتون"

خطای موضعی روش پیشنهادی شروع به کاهش نموده است، در حالی که خطای موضعی روش "بی" نوسانی می‌شود و مقدار متوسط آن ثابت باقی می‌ماند.

۳-۴- پیشنهاد شرط آنتروپی ثابت

در توابع آنتروپی ابداع شده توسط محققین دیگر، محل شوک و تشخیص آن به صورت مستقیم وارد محاسبات نمی‌شود، اگر چه در شرایط آنتروپی ثابت "بی" در محل‌های دارای شوک مقادیر بردارهای سرعت پادردا و سرعت صوت عوض می‌شود، این تغییرات به نوعی موجب تشخیص شوک می‌شود. از سوی دیگر شرط آنتروپی ثابت "بی" در ناحیه مادون‌صوت و درون لایه‌مرزی نیز موجب افزایش اتلاف عددی می‌شود. برای کاهش این اثرات به دنبال یک تابع تشخیص‌دهنده شوک $v_{i,j}$ هستیم که در نواحی دارای شوک حداقل (به صورت بی بعد برابر یک) و در نقاط هموار میدان مقادیر قابل صرفنظر باشد. طبق مشاهدات انجام شده، در جریان‌های غیرلزج تابع آنتروپی "بی" بخوبی عمل می‌کند، از سوی دیگر کاربرد این تابع در جریان‌های لزج موجب افزایش اتلاف عددی می‌شود.

استفاده از روابط زیر بهبود تابع آنتروپی پیشنهاد می‌شود:

$$\epsilon_{1,2} = a_1 + a_3 v_{i,j} (U + V + C) \quad (40)$$

$$\epsilon_{3,4} = a_2 + a_4 v_{i,j} (U + V + C) \quad (41)$$

با الهام از تابع آنتروپی ثابت "هارتن" مقادیر a_1 و a_2 مقادیر کوچکی (کوچکتر مساوی $0/25$) انتخاب شده‌اند. ضریب a_3 و a_4 با استفاده از اجراهای عددی انتخاب خواهد شد. تابع $v_{i,j}$ در ادامه معرفی خواهد شد. مزیت استفاده از توابع آنتروپی فوق این است که اولاً نرخ همگرایی را افزایش می‌دهد و ثانیاً فقط در نواحی دارای شوک به اتلاف عددی اجازه افزایش می‌دهد، بدلیل کاهش اتلاف عددی در نواحی هموار جریان، دقت جواب‌ها افزایش خواهد یافت. علاوه بر موارد فوق، در مسائی که در آنها شوک‌های قوی وجود دارد، می‌توان با افزایش ضرایب a_3 و a_4 قابلیت تسخیر شوک روش را (بدون کاهش محسوس دقت در نواحی هموار میدان حل) افزایش داد.

سؤالی که در اینجا مطرح می‌شود، این است که $v_{i,j}$ را تابع چه متغیر مستقلی در نظر بگیریم، متغیر مناسب برای تابع فوق متغیری است که در ناحیه شوک پیشترین تغییرات و در نواحی هموار میدان و بویژه لایه‌مرزی کمترین تغییرات را داشته باشد، از متغیرهای سرعت، فشار، دما، چگالی و آنتروپی می‌توان به عنوان متغیرهای تابع استفاده نمود.

همانطور که می‌دانیم در ناحیه شوک آنتروپی شدیداً افزایش می‌یابد. از سوی دیگر تغییرات آنتروپی در داخل لایه‌مرزی قابل

هم نزدیک است، از سوی دیگر در جریان‌های لزج، بویژه در حالت آشفته، لازم است که از ضریب کشش بسیار کوچک استفاده شود تا حل در ناحیه لزج (و آشفته) دارای دقت کافی باشد. با کوچک شدن ابعاد شبکه اتلاف عددی کاهش می‌یابد. با استفاده از نتایج عددی بدست آمده، مشاهده شده است که استفاده از سرعت متوسط سرعت صوت، قابلیت همگرایی برنامه را (برای محاسبات جریان لزج) کاهش می‌دهد، زیرا در محاسبات جریان لزج اتلاف عددی در جهت η کمتر از جهت γ است، (البته این مطلب ممکن است در نقاط دور از سطح و خارج لایه مرزی صادق نباشد)، استفاده از سرعت متوسط صوت موجب کاهش سرعت صوت (نسبت به حالتی که در آن از سرعت صوت در جهت η استفاده شود) می‌شود، در نتیجه مقدار اتلاف عددی روش کاهش می‌یابد. از سوی دیگر استفاده از سرعت متوسط صوت در جهت γ موجب زیاد شدن سرعت صوت در این جهت می‌شود، در نتیجه اتلاف عددی در این راستا افزایش می‌یابد. شایان ذکر است که با کاهش ضریب کشش شبکه مقدار $\sqrt{\eta_x^2 + \eta_y^2}$ افزایش می‌یابد. با توجه به توضیحات فوق در محاسبات جریان لزج بهتر است که از متوسطگیری فوق اجتناب شود (که از این پس با عنوان تابع آنتروپی "بی" اصلاح شده نامیده می‌شود). در این حالت نرخ همگرایی روش "بی" اندکی بیشتر از روش پیشنهادی می‌باشد.

به منظور بررسی اثر شرایط اولیه در نرخ همگرایی در شکل ۴ از شرایط اولیه بدست آمده از تحلیل آیزنتروپیک، استفاده شده است. مشاهده می‌شود که نرخ همگرایی دو روش تقاضت چندانی با هم ندارد و از سوی دیگر نرم خطا از $5/5$ - کمتر نشده است. این امر نشان می‌دهد که روش عددی نتوانسته است با توجه به شرایط اولیه، مقدار اتلاف مورد نیاز را جهت همگرایی تا دقت ماشین ایجاد کند. برای اثبات مستقل بودن مطلب بیان شده از نوع محدودکننده، چهار نوع تابع محدودکننده مختلف مورد استفاده قرار گرفته است. در شکل‌های ۵ و ۶ نرخ همگرایی برای تابع آنتروپی "بی" و تابع پیشنهادی ما، ارائه شده است.

از نتایج بدست آمده می‌توان دریافت که نرخ همگرایی برای تابع آنتروپی پیشنهادی بسیار بهتر از تابع آنتروپی "بی" می‌باشد. از سوی دیگر برای محدودکننده اول تابع "بی" قابلیت همگرایی تا دقت ماشین را ندارد. رفتار محدودکننده‌های دوم تا چهارم شباهت بسیار زیادی به هم دارد و نرخ همگرایی آنها با شرایط یکسان بیشتر از تابع محدودکننده اول است. در شکل ۷ مشاهده می‌شود که خطای موضعی مربوط به دو روش در مراحل اولیه تقریباً برهمنطبق است، با افزایش تعداد تکرار

ضرایب a_3 و a_4 عوض شده‌اند. از آنجا که دو روش نسبت به ضرایب a_1 و a_2 چندان حساس نیستند، در این شکل از $a_1 = a_2 = 0.25$ استفاده شده‌است. از سوی دیگر ضرایب a_3 و a_4 تأثیر زیادی در نرخ همگرایی روش دارند. در شکل ۱۰ توزیع دمای روی سطح با تغییرات ضرایب a_1 و a_2 در شکل ۱۱ برای ضرایب a_3 و a_4 ترسیم شده‌است. با رجوع به شکل ۴ مشاهده می‌شود که روش‌های "بی" و "بی" اصلاح شده با مقادیر اولیه بدست آمده از تحلیل آیزنتروپیک قابلیت همگرایی تا دقت ماشین را ندارند. از سویی روش "بی" نسبت به مقادیر^۶ حساس است (شکل ۲) در صورتی که تابع آنتروپی پیشنهادی حساسیت کمتری نسبت به ضرایب (بویژه برای همگراشدن) دارد. به‌منظور اظهار نظر دقیق‌تر در مورد کارآیی تابع آنتروپی پیشنهادی باید از مقادیر بدست آمده از روش "رو" مرتبه اول استفاده شود. در شکل‌های ۱۲ و ۱۳ نرخ همگرایی برای تابع آنتروپی جدید ارائه شده‌است. مشاهده می‌شود که در این حالت نیز نرخ همگرایی (به‌ازای مقادیر مناسب ضرایب $a_1 = a_2 = 0.25$ و $a_3 = a_4 = 1.0$) بیشتر از روش "بی" و "بی" اصلاح شده، است. شایان ذکر است که توزیع دمای روی سطح نیز در این حالت‌ها دقیقاً مشابه شکل‌های ۱۰ و ۱۱ است. در شکل ۱۴ توزیع دمای روی سطح برای روش‌های مختلف بازای شبکه 40×60 و ضرایب کشش $1/0.1$ ترسیم شده‌است. برای مقایسه نتایج از روش برآش شوک "بیم-وارمینگ" استفاده شده‌است. مشاهده می‌شود که نتایج مربوط به روش "بی" و "بی" اصلاح شده برهمنطبق هستند. از نظر همگرایی حل به روش "بی" برای شبکه ریز (150×80) و بازای شبکه 40×60 نیز فقط با $CFL = 0.01$ تا دقت ماشین همگرا می‌شود. روش "بی" اصلاح شده نیز فقط برای شبکه 150×80 می‌شود. این در حالی است که روش پیشنهادی بازای شبکه $1 = 0.1$ و $\beta = 0.1$ ($CFL = 0.01$) تا دقت ماشین قابلیت همگرایی دارد. این در حالی است که روش پیشنهادی بازای شبکه $1 = 0.05$ و $\beta = 0.05$ ($CFL = 0.01$) تا دقت ماشین همگرا می‌شود. در شکل ۱۵ توزیع فشار روی سطح برای روش‌های مختلف نشان داده شده‌است. مشاهده می‌شود که فشار روی سطح به اندازه دما، به روش بکاررفته حساس نیست. در شکل ۱۶ توزیع دما روی سطح برای روش‌های مختلف نشان داده شده‌است. در این شکل سعی بر مطالعه شبکه بوده است (تا جواب‌های بدست آمده مستقل از شبکه باشند). البته روش‌های "بی" و "بی" اصلاح شده برای شبکه ریز قابلیت همگرایی نداشته‌اند. مشاهده می‌شود که تطابق دما روی سطح روش پیشنهادی با نتایج برآش شوک (بویژه تا

مالحظه است، نکته مهمتر اینکه در محاسبات جسم سریع حداقل آنتروپی در نقطه سکون ایجاد می‌شود و علاوه بر آن لایه آنتروپی در ابتدای جسم سریع تشکیل می‌شود و سطح جسم را می‌پوشاند [۱۱] و [۱۲]. با توجه به موارد فوق استفاده از متغیر آنتروپی (به‌دلیل تغییرات قابل توجه در نواحی هموار میدان حل) مناسب نیست.

برای بررسی متغیرهای دیگر روابط شوک یک‌بعدی را برای حالت گاز کامل $1/4 = \gamma$ در نظر می‌گیریم:

$$\begin{aligned} \frac{\rho_2}{\rho_1} &= \frac{2.4M_1^2}{0.4M_1^2 + 2}, & \frac{\rho_2}{\rho_1} &= \frac{u_1}{u_2} \\ \frac{T_2}{T_1} &= \frac{(1 + 0.2M_1^2)(7M_1^2 - 1)}{7.2M_1^2}, \\ \frac{P_2}{P_1} &= \frac{7}{6}M_1^2 - \frac{1}{6}, \end{aligned} \quad (42)$$

با توجه به معادلات فوق نسبت فشار دردو طرف شوک بیشتر از نسبت بقیه متغیرهای است و تغییرات سرعت نیز مشابه چگالی (البته به صورت معکوس) است، در عین حالی که سرعت در درون لایه مرزی تغییرات زیادی دارد. نکته دیگر این است که ورتیسیته (که مرتبط با سرعت است) در حوالی خط صوتی بیشترین تغییرات را دارد، بنابراین انتخاب سرعت به عنوان متغیر مستقل تابع، انتخاب مناسبی نیست. با توجه به استدلال‌های فوق، فشار به عنوان متغیر مستقل تابع در نظر گرفته می‌شود.

در روش‌های مرکزی همانند روش "بیم-وارمینگ" [۱۲] و "جیمسون" [۱۴] در عبارت اتفاق عددی مرتبه دوم از تابع تشخیص‌دهنده شوک به صورت زیر استفاده می‌شود:

$$v_{i,j} = \left| \frac{P_{i+1,j} - 2P_{i,j} + P_{i-1,j}}{P_{i+1,j} + 2P_{i,j} + P_{i-1,j}} \right| \quad (43)$$

در نواحی شوک عبارت فوق به حداقل مقدار خود می‌رسد و در نواحی هموار میدان مقدار آن بسیار کوچک است، همین تغییرات موجب اعمال اتفاق مرتبه دوم یا مرتبه چهارم در روش‌های فوق می‌شود. با توجه به خواص فوق از این تابع به عنوان تشخیص‌دهنده شوک استفاده شده است، به‌منظور افزایش همگرایی روش، از حداقل مقدار عبارت فوق در نقاط $i+1/2$ (برای جاروب در جهت \vec{y}) استفاده شده است. برای بررسی تابع آنتروپی جدید در ابتدای شرایط اولیه بدست آمده از معادلات آیزنتروپیک استفاده شده است. در شکل ۸ ضرایب a_1 و a_2 تغییر داده شده‌اند. از مقایسه نتایج مربوطه می‌توان دریافت که تابع پیشنهادی به ضرایب a_1 و a_2 چندان حساس نیست. در شکل ۹ با ثابت بودن ضرایب a_1 و a_2

$X/R_N \approx 0.185$

در شکل‌های ۱۷ و ۱۸ پروفیلهای دما و سرعت در ناحیه لایه‌مرزی، شوک و خارج از شوک ترسیم شده‌اند. با مقایسه نتایج مشخص می‌شود که او لامقادری بدست آمده تفاوت زیادی با هم ندارد و ثانیاً جواب‌های بدست آمده توسط روش‌های اصلاحی به نتایج حل دقیق (حل برآش شوک) نزدیکتر است. این مقایسه برتری روش‌های اصلاحی را نسبت به روش "بی" نشان می‌دهد.

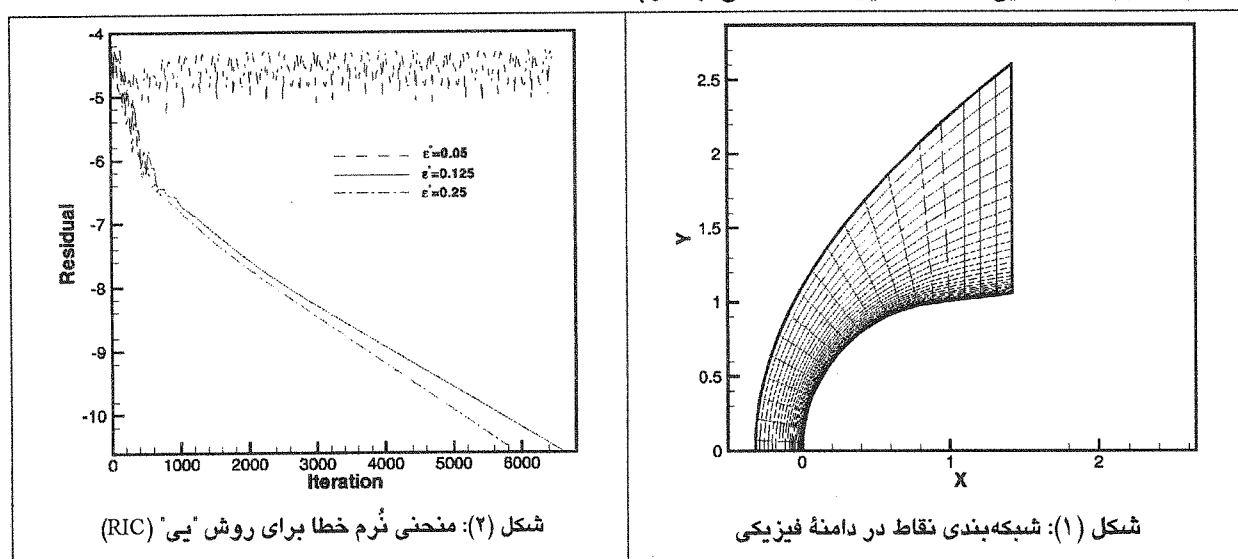
۴- بحث و نتیجه‌گیری

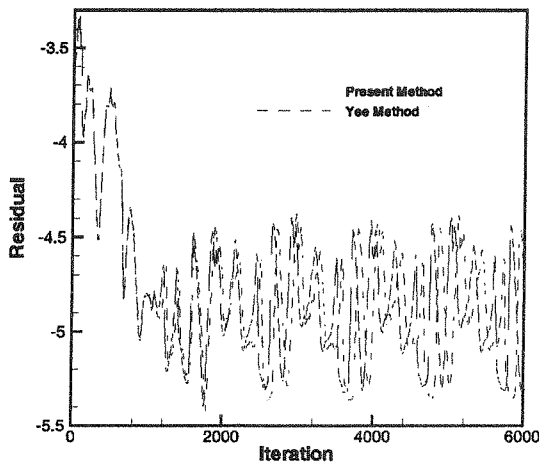
شرط آنتروپی "بی" با وجود کاربردهای بسیاری که در روش‌های TVD پیدا کرده‌است، در جریان‌های لزج با مشکل مواجه می‌شود. در این تحقیق یک اصلاح اولیه در شرط آنتروپی ثابت "بی" اعمال گردید که موجب شد حساسیت زیاد این توابع به مقدار ϵ کاهش یابد و نرخ همگرایی آن نیز بیشتر شود. پس از انجام این اصلاح مشاهده شد که باز هم روش اصلاحی مانند روش "بی" کارآیی زیادی ندارد، به عنوان مثال با شرایط اولیه بدست آمده از تحلیل آیزنترپیک که یک توزیع تقریبی را برای متغیرها ایجاد می‌کند، قابلیت همگرایی تا دقت ماشین را ندارد. از سوی دیگر هردو روش فوق در شبکه‌های بسیار غیریکنواخت (با ضریب کشش $\beta = 0.05$) دارای می‌باشد. عدد CFL در این حالت حدود ۱۰ برابر حالت‌های قبلی است که موجب می‌شود زمان اجرای برنامه نسبت به حالت قبل حدوداً به یک دهم کاهش یابد.

۵- قدردانی

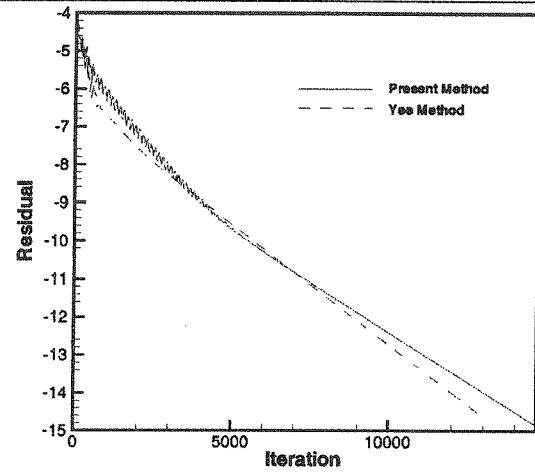
نگارندگان از مسئولین محترم دانشگاه بوعالی سینا به‌دلیل در اختیار قراردادن امکانات مورد نیاز برای انجام این تحقیق، کمال تشکر را دارند.

۶- ضمایم

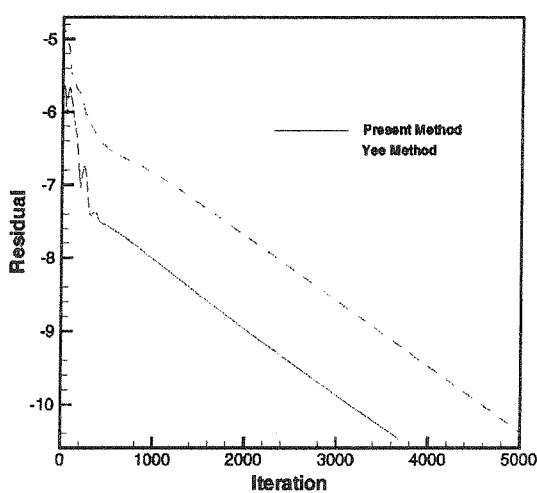




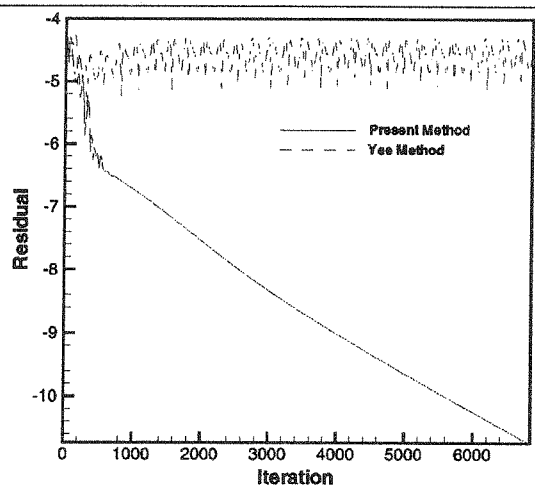
شکل (۳): مقایسه منحنی نرم خطای برای حالت تابع آنتروپی "بی اصلاح شده و تابع "بی ((IC)) اصلاح شده و تابع "بی بهازی $((RIC)\varepsilon^*) = 0.125$



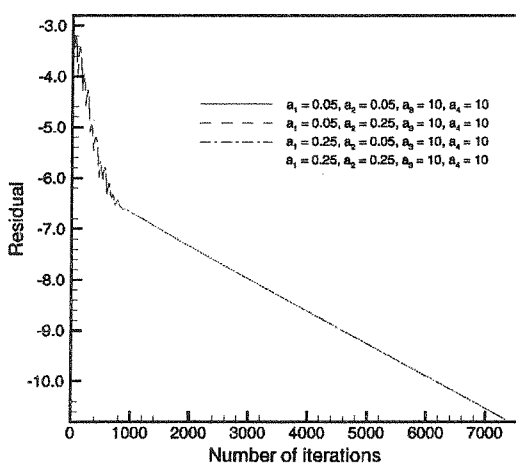
شکل (۴): مقایسه منحنی نرم خطای برای حالت تابع آنتروپی "بی اصلاح شده و تابع "بی بهازی $((RIC)\varepsilon^*) = 0.125$



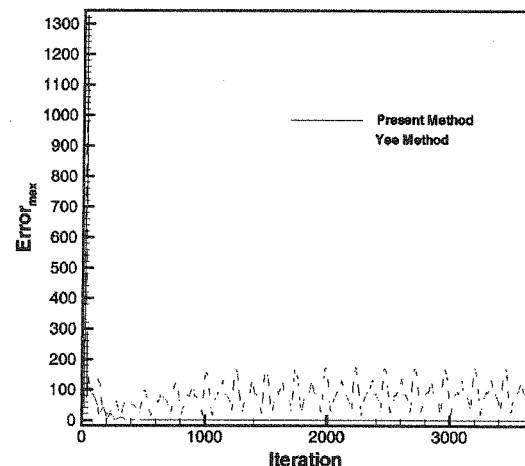
شکل (۵): مقایسه منحنی نرم خطای برای تابع پیشنهادی و تابع "بی ((RIC)\varepsilon^*) = 0.05 محدودکننده اول و محدودکننده دوم و تابع "بی



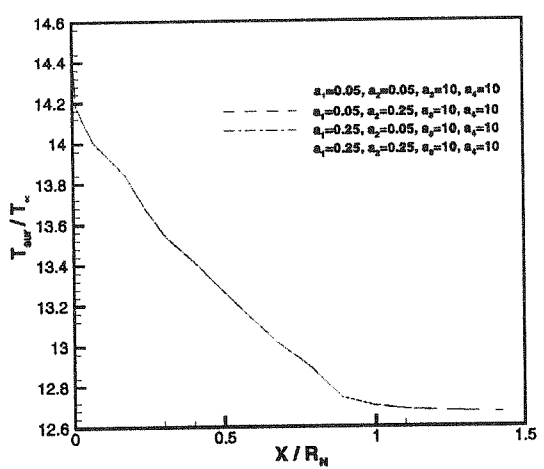
شکل (۶): مقایسه منحنی نرم خطای برای تابع پیشنهادی و تابع "بی ((RIC)\varepsilon^*) = 0.05 محدودکننده اول و محدودکننده دوم و تابع "بی



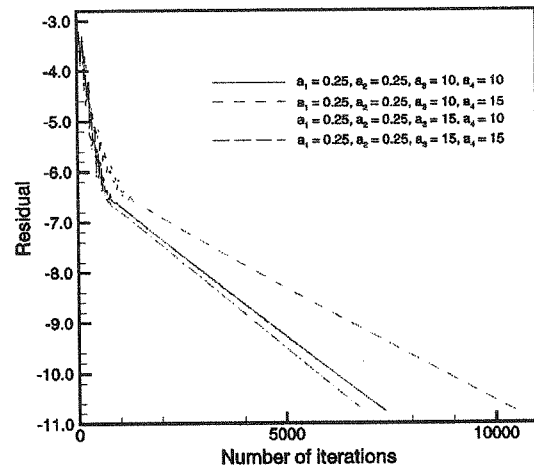
شکل (۷): رفتار همگرایی حل بهازی ضرایب متفاوت پیشنهادی و تابع "بی ((RIC)\varepsilon^*) = 0.05 محدودکننده اول و محدودکننده دوم و تابع "بی



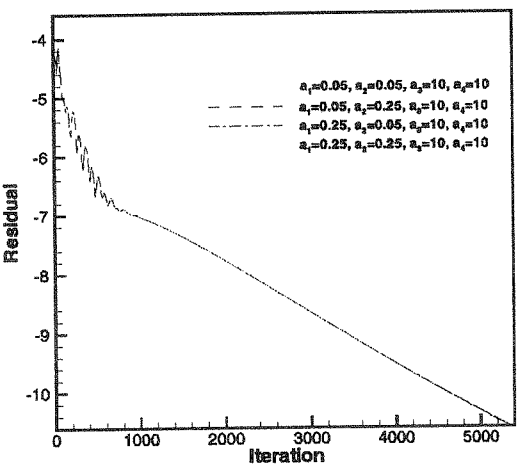
شکل (۸): مقایسه حداقل خطای موضعی برای تابع پیشنهادی و تابع "بی ((RIC)\varepsilon^*) = 0.05 محدودکننده اول و محدودکننده دوم و تابع "بی



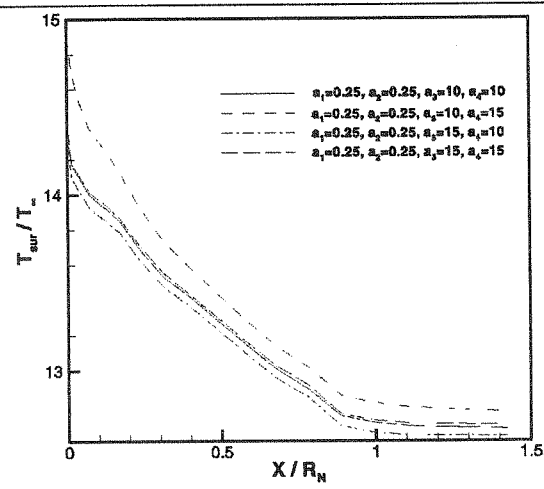
شکل (۱۰): مقایسه توزیع دمای روی سطح بهازی ضرایب متفاوت تابع پیشنهادی (IIC)



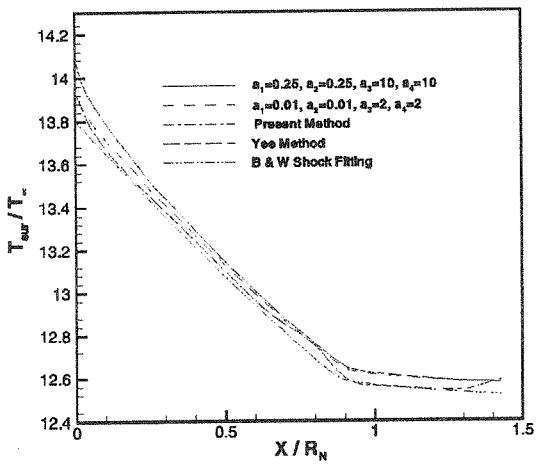
شکل (۱۱): رفتار همگرایی حل بهازی ضرایب متفاوت پیشنهادی (IIC)



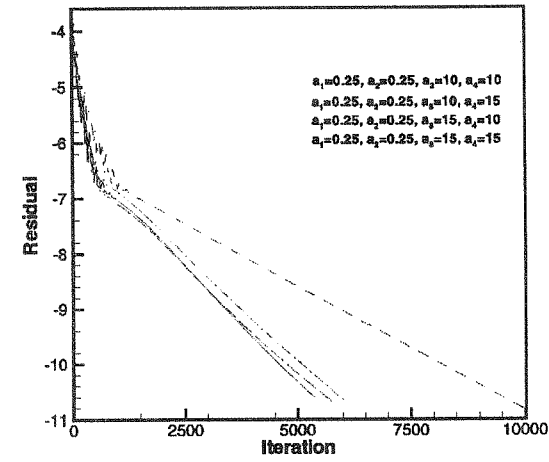
شکل (۱۲): رفتار همگرایی بهازی ضرایب متفاوت تابع پیشنهادی (RIC)



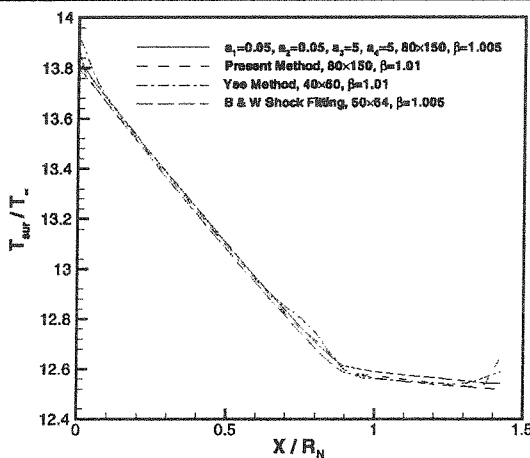
شکل (۱۳): مقایسه توزیع دمای روی سطح بهازی ضرایب متفاوت تابع پیشنهادی (RIC)



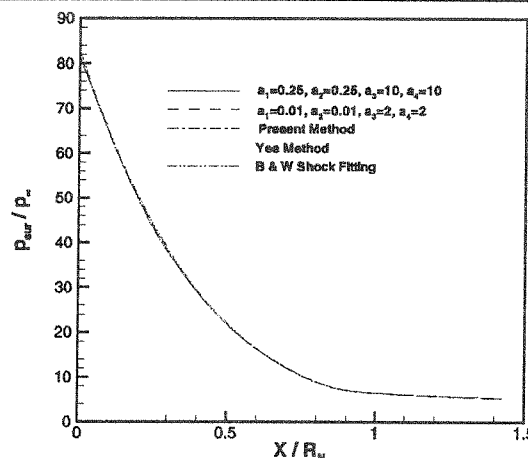
شکل (۱۴): مقایسه توزیع دمای روی سطح برای روش‌های مختلف (RIC)



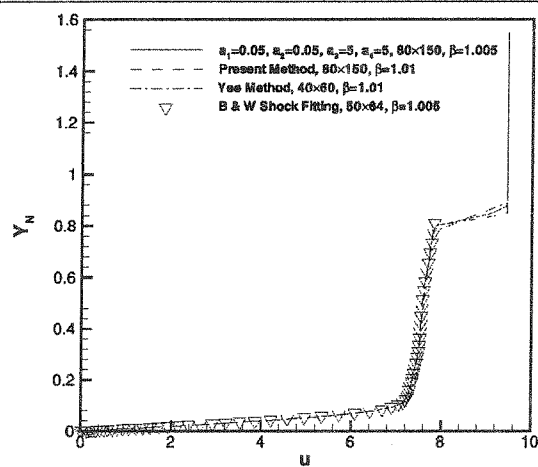
شکل (۱۵): رفتار همگرایی حل بهازی ضرایب متفاوت تابع پیشنهادی (RIC)



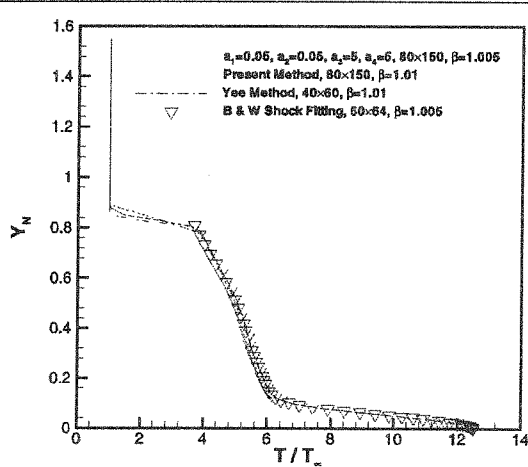
شکل (۱۶): مقایسه توزیع دمای روی سطح برای روش‌های مختلف (RIC)



شکل (۱۵): مقایسه توزیع فشار روی سطح برای روش‌های مختلف (RIC)



شکل (۱۸): مقایسه پروفیل سرعت برای روش‌های مختلف (RIC)



شکل (۱۷): مقایسه پروفیل دما برای روش‌های مختلف (RIC)

۷- مراجع

- Unsteady Implicit Scheme”, Naval Surface Weapons Center Silver Spring, Maryland 20910.
- Chakravarthy, S. R., “High Resolution Upwind Formulation for the Navier-Stokes Equations”, Computational Fluid Dynamics, Von Karman Inst. Lecture Series, 1988-05 1988
- Harten, A., “A Self-Adjusting Grid for the Computational of Weak Solutions of Hyperbolic Conservation Laws”, Journal of Computational Physics, Vol. 50, pp 235-269, 1983
- Harten, A., “On a Class of High Resolution Total-Variation-Stable Finite Difference Schemes”, SIAM Journal of Numerical Analysis, Vol. 21 pp. 1-23 1984.
- Yee, H. C., Klopfer, G. H., and Montagne, J. L., “High Resolution Shock-Capturing Schemes for Inviscid and Viscous Hypersonic Flows”, NASA TM-100097, April, 1988
- Ferri, A., and Libby, P. A., “Note on Interaction between the Boundary Layer and Inviscid Flow”, [1]

[۷]

[۸]

[۹]

[۱۰]

[۱۱]

Hanel, D., and Krause, E., “The Influence of Numerical Damping on the Solution of the Conservation Equations”, 1992 [۱]

Kallinderis, Y., and McMorris, H., “Magnitude of Artificial Dissipation for Numerical Simulations”, AIAA Journal Vol. 33 No.8, pp 1526-1529. [۲]

Wang, Z., and Richards, B. E., “High Resolution Schemes for Steady Flow Computations”, Journal of Computational Physics, Vol. 97 pp 537-572 1991. [۳]

Roe, P. L., “Approximate Riemann Solvers, Parameter Vectors and Difference Schemes”, Journal of Computational Physics, Vol. 43 pp. 357-372, 1981. [۴]

Anderson, D. A., Tannehill, J. C., and pletcher, R. H., “Computational Fluid Mechanics and Heat Transfer”, McGraw Hill Book Company, New York, 1984. [۵]

Hsieh, T., “Heat Transfer Calculation for Hypersonic Flows over Blunt Noses Using an [۶]

Journal Aeronaut. Science, 21:130, 1954

[۱۷]

Hayes, W. D., and Probstein, R. F., "Hypersonic Flow Theory", Academic Press, New York, 1959.

[۱۸]

Pulliam, T. H., "Implicit Solution Methods in Computational Fluid Dynamics", Applied Numerical Mathematics, Vol. 2, No. 6, pp 441-474, 1986

[۱۹]

Jameson, A., Schmidth, W., and Turkel, E., "Numerical Solution of the Euler Equations by Finite Volume Methods Using Runge-Kutta Time-Stepping Schemes", AIAA paper 81-1259, 1981.